

Современные возможности тонкополевой диагностики объектов живой и неживой природы

Шкатов В.Т.
Томский атомный центр

Шкатов П.В.
Москва

Традиционная диагностика различных объектов живой и неживой природы производится обычно на основе классических законов естественных наук: физики, химии и биологии. Как правило, это контактная диагностика, осуществляемая через взаимодействия вещественные, энергетические, либо те и другие одновременно, между диагностируемым объектом и диагностирующим средством (прибором). В необходимых случаях используется дистанционная связь между объектом и прибором через посредство различных энергетических полей, самым популярным из которых является электромагнитное поле. Технические решения по формированию, генерации, приёму и расшифровке электромагнитных сигналов достигли в этом направлении весьма высокого совершенства. Однако, наряду с очевидными достоинствами по точности, быстродействию, помехозащищённости и т.д., такая диагностика имеет и недостатки. Они, как всегда, являются продолжением перечисленных и других достоинств. Высокое быстродействие обычно влечёт за собой повышенное энергопотребление устройств, а помехозащищённость и точность трудно реализуемы без существенного усложнения и удорожания аппаратуры. К тому же, как показывает практика, в большинстве случаев великолепные показатели качества такой аппаратуры не используются полностью, а только непрерывно повышаются вслед за так называемым техническим прогрессом. Кроме этого, трудно не принять замечание о явном ухудшении экологии нашей жизни, одна из причин которого, вероятно, содержится в слишком уж безудержном темпе её электромагнитного роста.

Положение усугубляется ещё и тем, что далеко не все объекты являются доступными для диагностики электромагнитными (в том числе электрическими и магнитными по отдельности), а в целом, энергетическими методами. Это, прежде всего, касается сильно удалённых, очень горячих, радиоактивных, либо экранированных по одному из компонентов поля неживых объектов, а также сложно структурированных живых организмов, к органам которых трудно или невозможно подобраться без их повреждения.

Поэтому, может быть, стоит внимательнее присмотреться к самому аспекту информационной диагностики, в частности к тому, как это делается в природе за вычетом человеческого фактора. Многолетние наблюдения и современные тонкие эксперименты показывают, что природа просто изобилует информационными взаимодействиями, их плотность и насыщенность на много порядков превышает таковые для человеческой деятельности. И, самое главное, она, природа, обходится для этого чрезвычайно малыми энергетическими затратами. По-видимому, для

естественных информационных взаимодействий электромагнитные и другие энергетические поля не являются самыми «популярными».

Какие же носители информации в основном использует Природа на Земле? Возможно те, которыми она располагала до замечательных открытий Герца и изобретений Попова - Маркони. Задолго до них, и даже задолго до появления биологической жизни на Земле. А что может сказать по этому поводу современная наука? Не очень, к сожалению, много. Самая мощная до недавнего времени в России (а в бывшем СССР тем более) академическая наука почему-то решила (в лице некоторых своих «значимых академиков»), что в основном устройство мира понимается вполне адекватно, мир организован только на основе электромагнитных, гравитационных, сильных и т. п. энергетических взаимодействий. А как организовались и существуют сами эти взаимодействия, академической науке почему-то знать неинтересно. Поразительная нелюбознательность! А её борьба с инакомыслием в своей области, под видом ограждения настоящей науки от так называемой «лженауки», больше похоже на преступную инквизицию.

А теперь вернёмся к упомянутым выше «тонким» экспериментам. Их не слишком много, но и не так мало, чтобы не обращать внимания на их результаты, иногда потрясающие. В данном тексте автор не приводит результаты специальных физических экспериментов с объектами, взаимодействующими по спине (т.е. без использования заряда, магнитного момента и массы), выполненных в последние два – три десятилетия в ведущих лабораториях России и Мира. Их можно найти в прекрасном обзоре академика РАЕН А.Е.Акимова [1]. Здесь будут приведены результаты других экспериментов, выполненных в других лабораториях, часто в условиях, малоподходящих для этого. Но они, эти эксперименты, проводились с использованием новой, специально для этих работ сконструированной сверхвысокочувствительной измерительной техники, до этого вообще не существовавшей в инструментарии экспериментаторов. Такая аппаратура в 90-х годах именовалась торсиметрической, в соответствии с появившимся тогда названием фундаментального, базового, поля Природы - торсионного поля (поля кручения).

Данное название, не говоря уже о его физической сущности, до сих пор вызывает неутраченные споры между сторонниками этой идеи и ортодоксальными учёными, прежде всего физиками. Эти споры нарастают и спадают волнообразно, в полном соответствии с всеобщим колебательным характером поведения сложных систем, вышедших из-под контроля. Определённая правда есть у обеих сторон. Ортодоксальная часть учёных, по-видимому, считает своей основной обязанностью охранять существующие достижения науки от недостаточно проверенных, с её точки зрения, новых идей и технических предложений. Это, наверное, правильно. Только больно уж много таких охранников, ведь поезду науки по определению следует ехать, а не стоять на месте с паровозом, по которому из всех видов оружия ведётся огонь на поражение. Продолжая в этом же духе, можно сказать, что машинисты такого паровоза вынуждены занимать круговую оборону, с большими потерями для себя и истины. Сложности у обороняющейся стороны состоят ещё и в том, что предмет их обороны, хотя и выглядит многообещающим для практики, но разрабатывается недостаточно быстро из-за принципиальных трудностей его теоретического обустройства и малости задействованных сил. В заключение столь метафорического

абзаца хочется высказать оптимистическую ноту на ближайшее будущее, ведь «охранникам», наверное, давно надоело охранять обветшалый и частично разворванный поезд науки. Но работа такая.

Теперь изложение будет чуть строже. Насколько автор сам себя понял, к настоящему времени имеется некоторое число экспериментальных измерительных методик и устройств техники, пригодных для, опять же экспериментальных, попыток диагностики ряда объектов живой и неживой природы. Что это за устройства и методики? Заслуживают ли они внимания? На рис. 1 представлен первый измеритель торсионного контраста (специальные отличия от фона) объекта, разработанный автором примерно в 1998 г.



Рис. 1. Торсиммер ТСМ-021 с торсионным затвором.

Данный измеритель был назван торсиммером ТСМ-021. Показанный на рис. 1 вариант тогда ещё не был оборудован системой передачи данных в компьютер, сейчас этот недостаток устранён. На этом торсиммере был получен целый ряд неплохих измерительных результатов, здесь будут представлены лишь некоторые. На рис. 2 показаны значения торсионного контраста различных геометрических фигур и букв русского алфавита, в произвольных единицах, на белом фоне.



Рис. 2. Торсионный контраст плоских фигур и букв.

Некоторый комментарий по рис. 2. Геометрические фигуры, нарисованные авторучкой на кусочках белой писчей бумаги размером 50*50 мм, очевидно, не являли собой источник электромагнитного поля по отношению к ТСМ-021. Технология измерений была очень простой. Указанные фигуры на бумажной подложке укладывались на столик прибора изображением вверх, попеременно с таким же кусочком бумаги без рисунка. Поражает влияние признаков вращения типа: левое и правое, на примере древнего геральдического символа – свастики: прямой и инверсной. Интересны также замыкающие ряд фигуры: окружность и треугольник, работающие по максимуму, но в разных знаках, а также звёзды: пятиконечная и Давида. Что касается букв, которые из-за ограниченного разрешения пришлось организовывать в группы, то они по торсионному контрасту рассыпались в некоторый спектр, в правом конце которого оказалась буква «О», а в левом «А» и «Ф». Принцип здесь получается такой: всё круглое - правое и положительное, а всё острое и двунаправленное - левое и отрицательное. Положительность и отрицательность в нашем случае не совсем симметричны, положительность соответствует усложнению (росту) любой системы, и, наоборот, отрицательность соответствует её деградации.

Не менее интересно то, что торсионный контраст вещества ощутимо зависит от времени суток. На рисунках группы 3 показано влияние времени суток на торсионный показатель воды разной структуры.

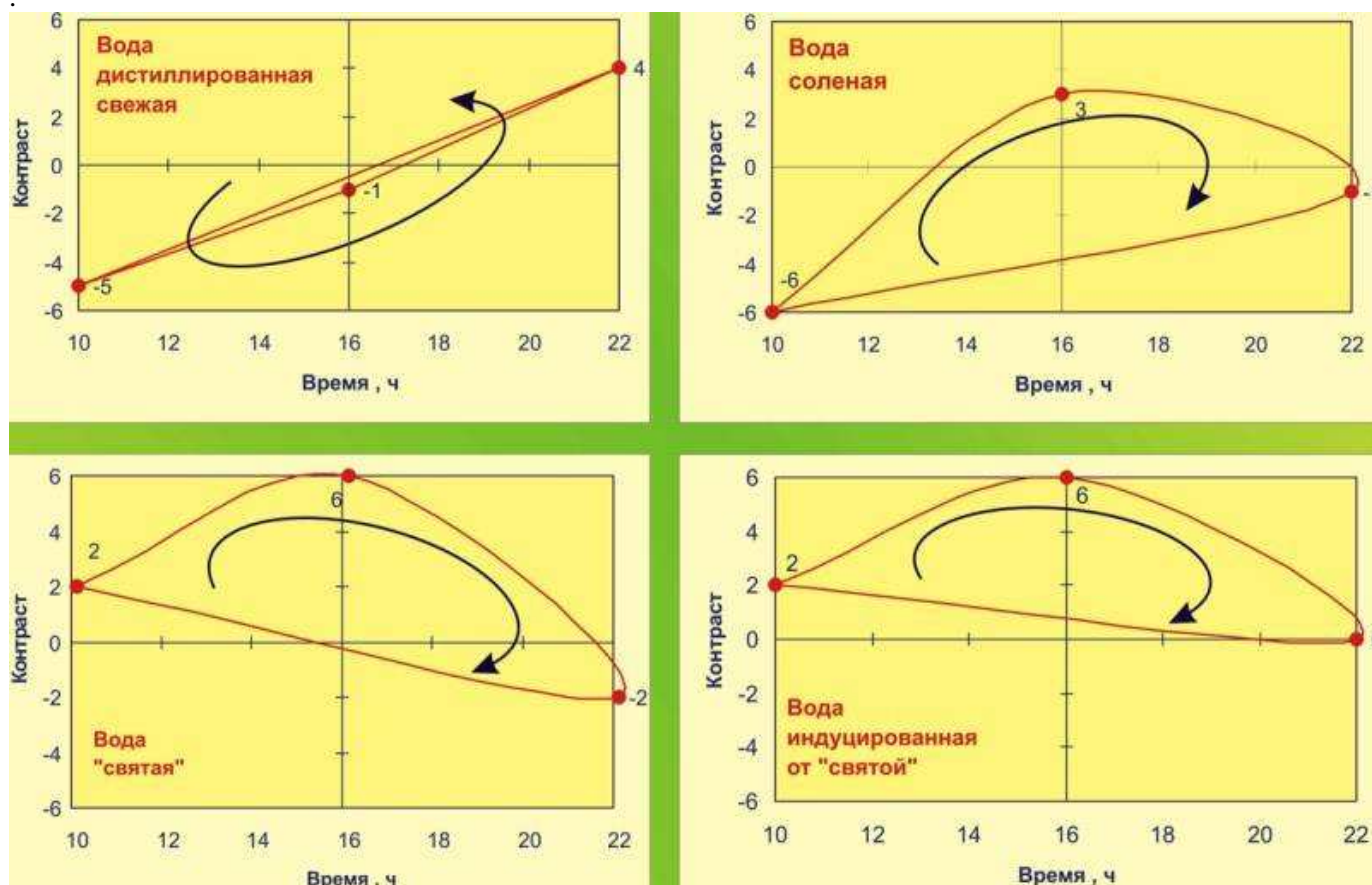


Рис. 3. Торсионные фазовые портреты воды разного содержания.

На рисунках этой группы был использован метод торсионного фазового портрета, когда одна, зависимая, циклическая величина строится в функции другой, ведущей, циклической величины на реверсивных осях компактного графика. Каждый график соответствует изменению величин за одни сутки. Видна отчётливая разница в суточном поведении торсионного контраста объекта (в данном случае воды: дистиллированной, подсолённой, святой и индуцированной от этой святой). Первая из них представляет собой типичный «мёртвый» объект, (т. е. никакой), вторая вода, а также третья и четвёртая являют собой работающие объекты, каждый по своему назначению. Интересно, что вода четвёртая по фазовому портрету удивительно похожа на третью, по-настоящему святую, хотя четвёртая вода взята из обычного водопровода, только она постояла некоторое время рядом с третьей.

Определённое впечатление производят результаты ещё одной работы, выполненной по методике торсионного фазового портрета, с использованием ТСМ-021. Она представляла собой первый длительный торсионный мониторинг объекта, представляющего собой человека, переходящего порог смерти. Работа производилась по фотографии этого человека, укладываемой на столик ТСМ-021. Результаты показаны на рис. 4.

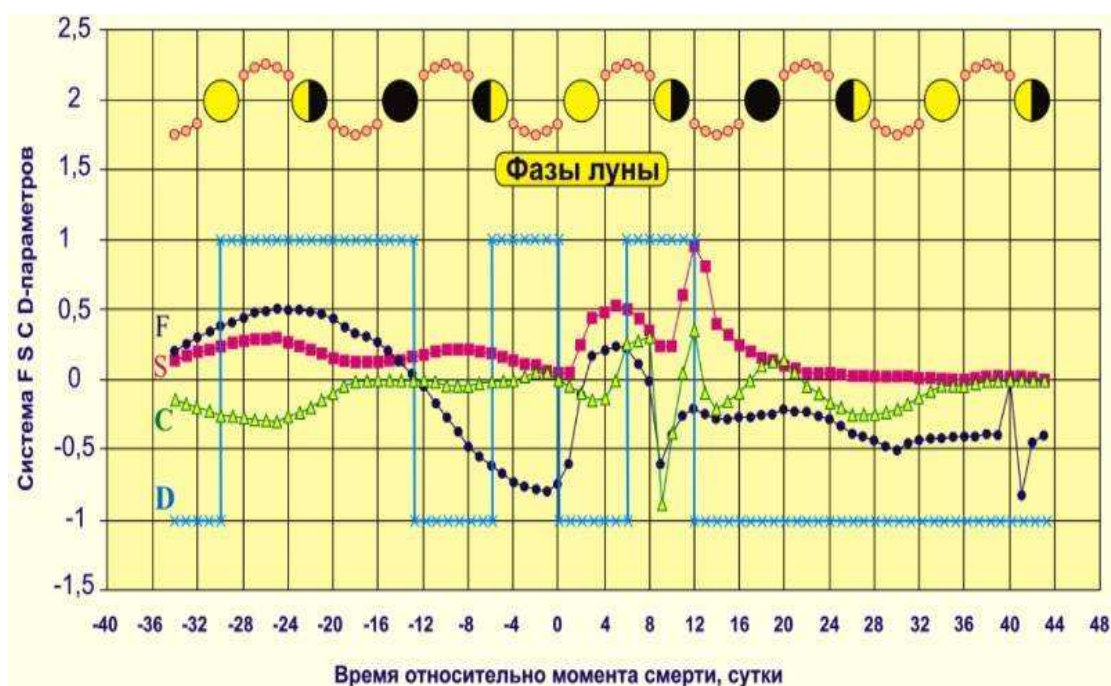


Рис. 4. Мониторинг умирающего человека.

В порядке комментария к этому мониторингу можно сказать следующее. На нём приведены пять величин в функции времени: четыре параметра F, S, C, D торсионного фазового портрета (ТФП), представляющие собой его тонкую структуру, и фазы Луны, как известно, оказывающие определённое влияние на человека, в особенности больного. Хорошо видно, что FSCD-параметры ТФП умирающего на подходе к моменту «М», примерно за две недели до этого, меняют характер своих изменений. Запускаются своего рода часы смерти по параметру D. Непосредственно в момент «М» идёт резкое изменение всех FSCD-параметров, причём в течение трёх суток эти параметры похожи на параметры, характерные для данного организма до болезни. На девятый день FSCD – параметры организма претерпевают крутую ломку в отрицательную сторону, а на сороковой день после момента «М» имеется сигнал только по безэнергетическому параметру F. Последняя, так сказать, отмашка. Оставшиеся SCD-компоненты ТФП выходят к этому времени на стационарный для каждого из них уровень.

Дальнейшие работы связаны с попытками привязки измеряемых торсимерами величин к нормальным физическим величинам, желательно в системе единиц СИ. Для этого был использован другой измеритель, построенный по дифференциальной схеме, а именно торсимер TCM-030, рис. 5.



Рис. 5. Торсиммер TCM-030.

В этом торсиммере были применены конденсаторные датчики на основе высокопроницаемой радиокерамики, по одному на каждый канал. От электроёмкости этих датчиков зависела частота двух автогенераторов (примерно 500 кГц). Эти частоты подавались на устройство, выделяющее их разность, которая измерялась за определённый промежуток времени (около 1 сек.) и визуализировалась на цифровом индикаторе. Прибор имел встроенную систему автоматической установки нуля и сенсорное управление. Два ортогональных друг к другу измерительных канала позволяли измерять одновременно два объекта в сравнительном режиме. Система автономного питания и передачи данных в компьютер оказались не лишними для решения метрологических и других задач.

На рис. 6 представлены результаты измерения торсионного контраста образцовых тел из разных материалов, вращаемых реверсивно и с различной скоростью. На верхней кривой (рис. 6а) приведена зависимость относительного торсионного контраста вращаемых тел, выполненных из материалов разной плотности: от пенопласта до меди (отношение около 450). Видно, что при столь большой вариации плотности указанный контраст меняется не столь значительно по сравнению с изменением этой плотности.

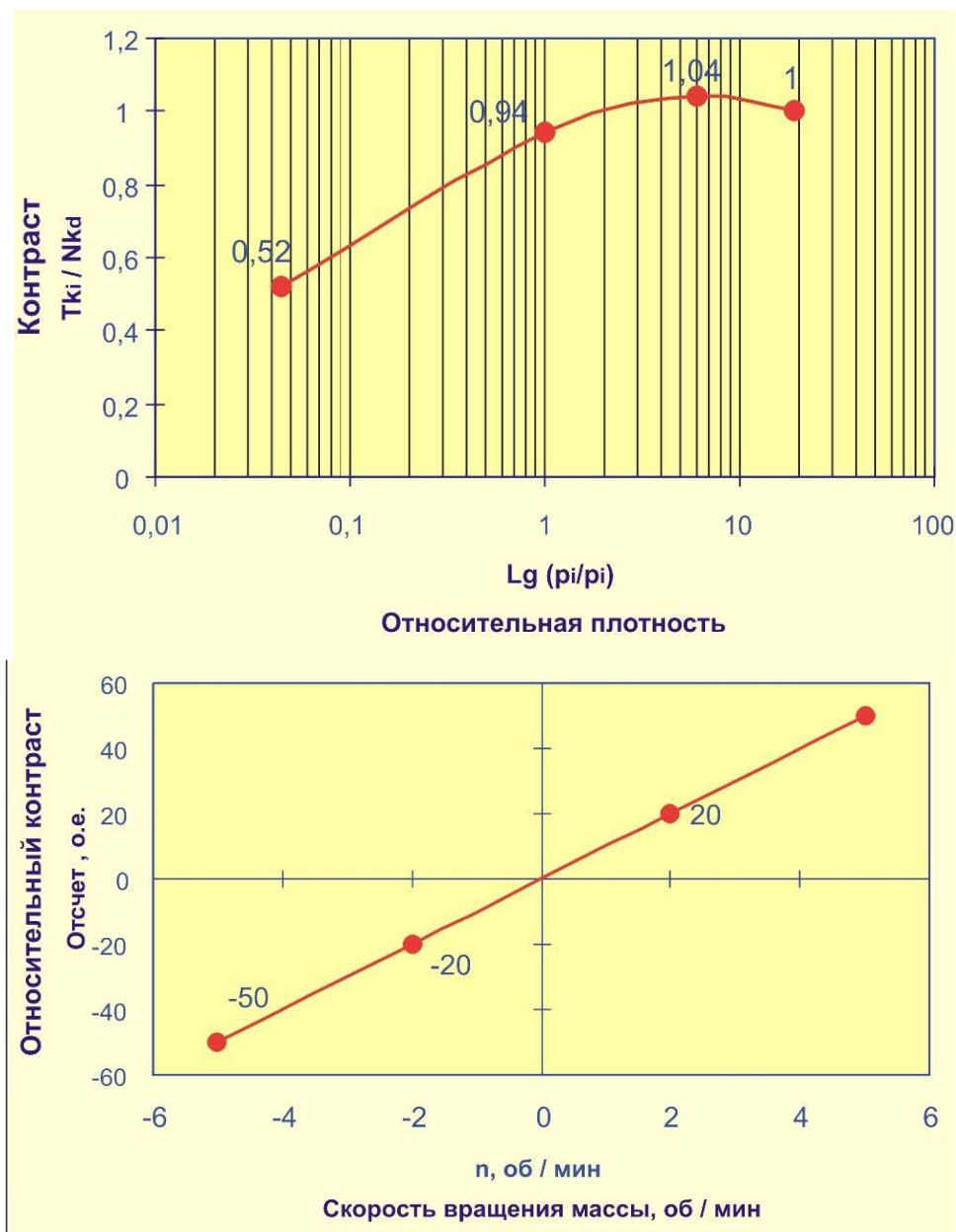


Рис. 6. Эксперименты по метрологии.

На нижней кривой приведена зависимость относительного контраста вращаемых тел от скорости и направления вращения. Здесь очевидна линейность связи первого со вторым и симметрия по отношению к левому и правому вращениям. На рис. 7 представлены ещё два результата, полученные с использованием ТСМ-30. Первый из них имеет отношение к космосу.



Рис. 7. Мониторинг разрушающегося объекта.

Работа с космическим объектом «станция МИР» производилась по его изображению в газете «Аргументы и факты». На рис. 7 приведена запись изменения торсионного контраста объекта во время начала его разрушения на высоте около 80 километров от поверхности Земли. Для молодых или нелюбопытных читателей придётся напомнить, что в своё время, в пору расцвета наших космических технологий, на орбите Земли работала обитаемая и довольно мощная станция. Работала не один год, пока не выработала ресурс своих систем. К тому же к концу её существования на борту развились какие-то непонятные биосистемы, возможно плесневого характера, мешающие эксплуатации станции. Было решено сбросить её в океан, при этом в процессе снижения орбиты началось термодинамическое разрушение солнечных батарей станции, а затем и всего комплекса. Из записи на рис. 7 видно, что в 08.52 московского времени её торсионный контраст резко понизился на 3,5 пункта используемой шкалы, что, при дальнейшем анализе, совпало с реальными событиями по опубликованной хронологии спуска станции.

Второй интересный результат. На рис. 8 вниманию читателей предлагается запись временной развёртки (мониторинг) некоторой пространственной структуры (молекулы воды в составе жидкой воды)! Подчёркиваю, в этом эксперименте с веществом впервые было получено измерительное преобразование молекулярной структуры этого вещества во временную структуру приборной записи без физического контакта исследуемого вещества с ТСМ-030. Такая вот торсионная хроматография использовалась и для анализа более сложных молекул хлоридов. На записи крайние пики, по-видимому, соответствуют водороду, а центральный пик кислороду в молекуле воды.

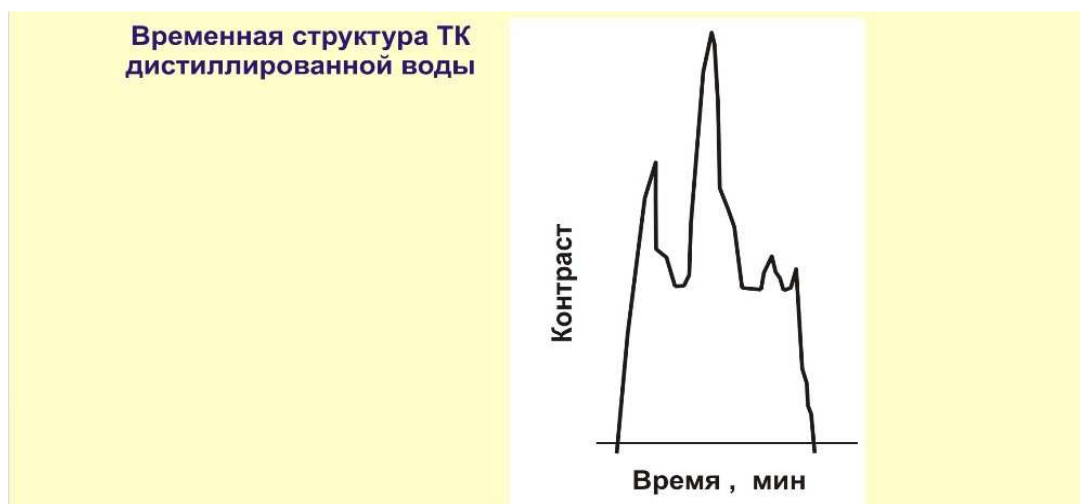


Рис. 8. Временная развертка химического соединения.

Существует ещё одно измерительное средство под названием SADAF-08LC. Он имеет один датчик на основе вольфрама и два лазерных зонда для двух объектов, переключаемые поочередно. Изменение сопротивления вольфрама преобразуется в изменение частоты, а далее всё идёт по идеологии TCM-030 с выделением разности отсчётов и передачей данных в компьютер. Внешний вид прибора показан на рис. 9.



Рис. 9. Торсиммер SADAF-008LC.

При подготовке системы преобразования торсионного сигнала в электрический был случайно зарегистрирован артефакт, который по времени совпадает с фактом гибели американского челнока «Колумбия». На рис. 10а, 10б, 10в, 10г показана группа записей изменения неизвестного сигнала в формате фазового портрета.

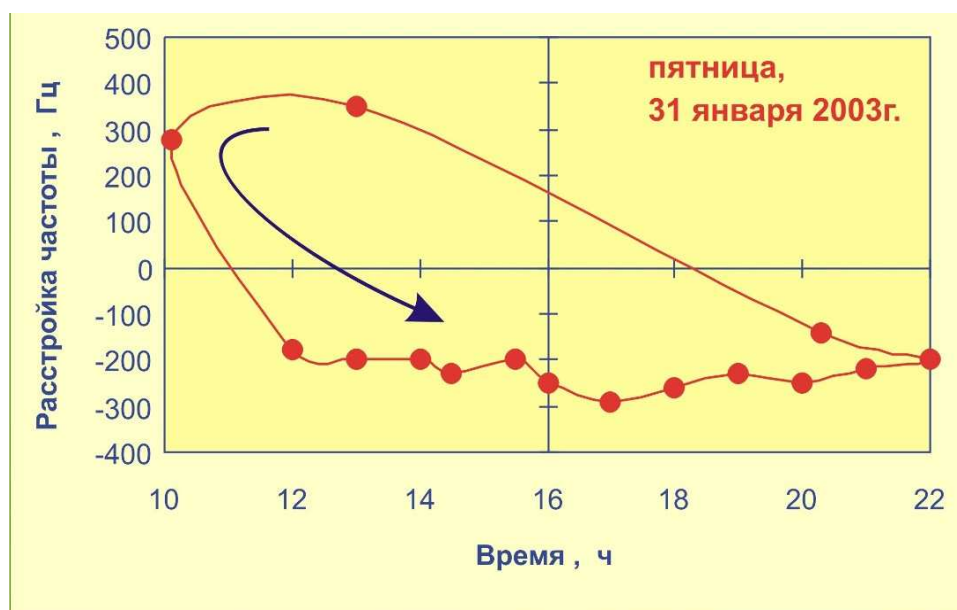


Рис. 10а. Торсионный фазовый портрет X-объекта.

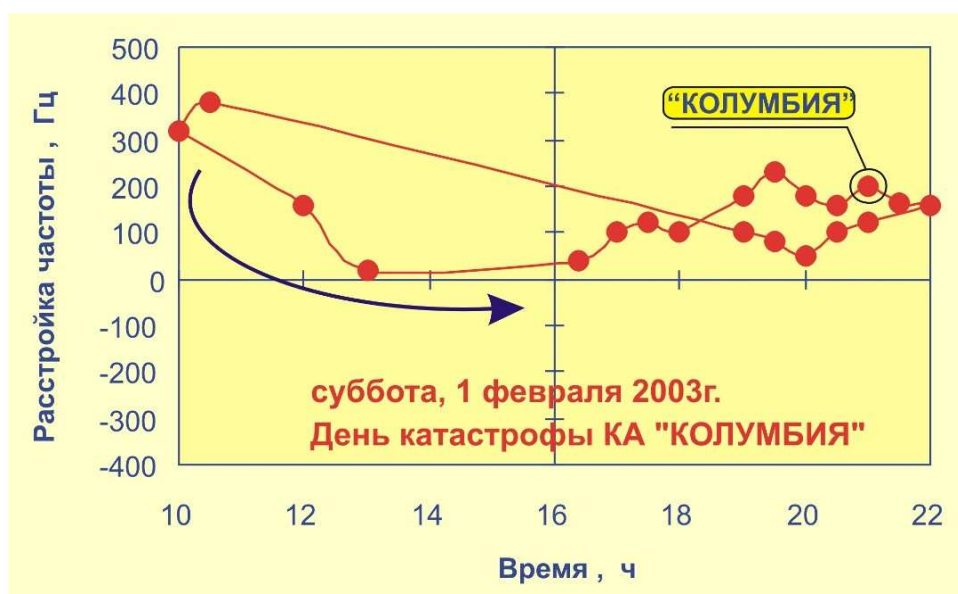


Рис. 10б. Торсионный фазовый портрет X-объекта.

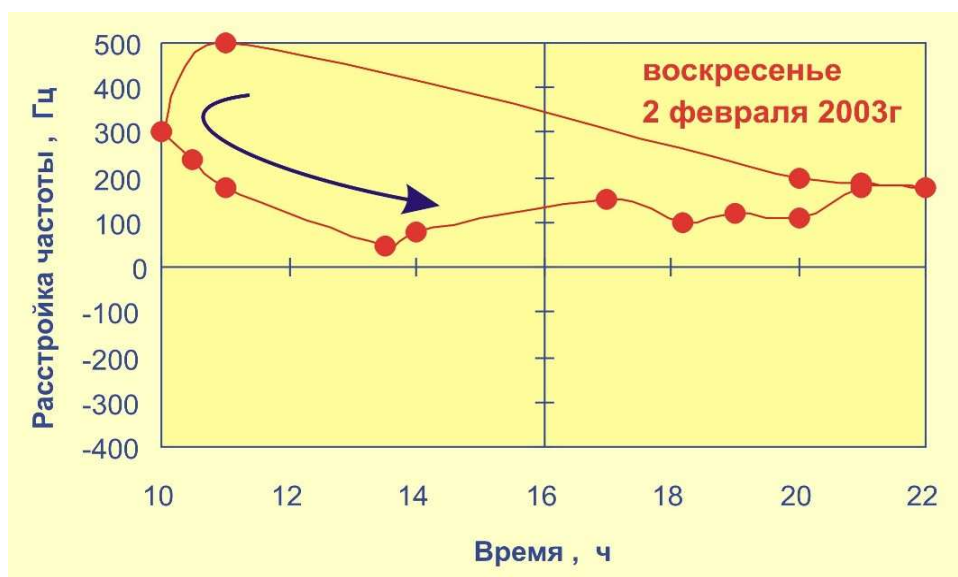


Рис. 10в. Торсионный фазовый портрет X-объекта.

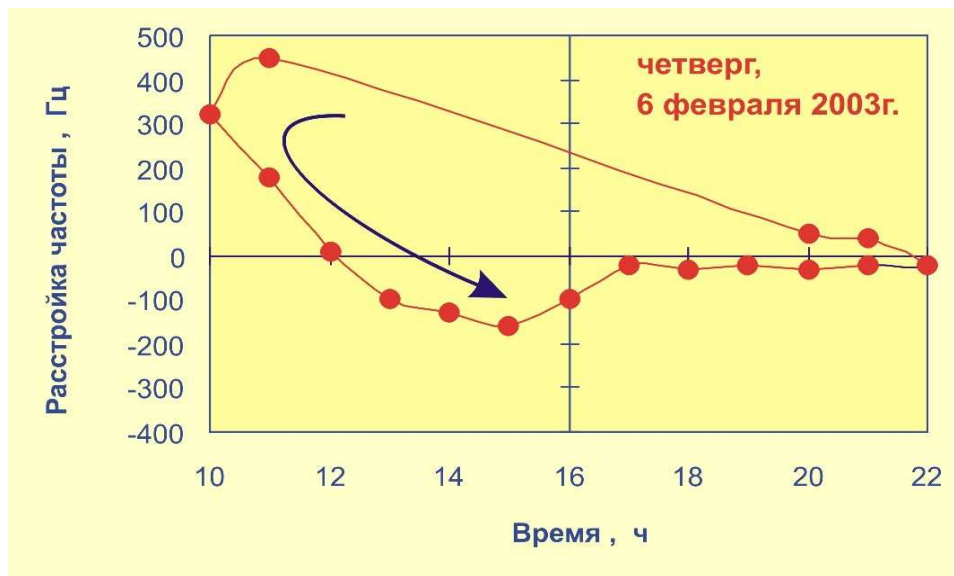


Рис. 10г. Торсионный фазовый портрет X-объекта.

На этих рисунках приведены результаты мониторинга общей торсионной обстановки в месте расположения датчика (X-объект, Томск, Академгородок) выборочно по дням: пятница, суббота, воскресенье и четверг. В субботу произошла катастрофа с челноком. По ходу записи в эту субботу можно было ещё в 16 часов местного времени, т.е. до события, предполагать что-то неладное в дальнейшем. А в целом, с достаточной вероятностью можно считать, что связанное с этим событием общее планетарное изменение торсионной обстановки сказалось на отсчётах прибора. Видно, что биофизический комплекс Земли довольно долго, почти неделю, релаксировал от потрясений.

На приборе SADAФ-08LC производились также мониторинги области пространства вокруг некоторых тел простой формы: шар сплошной и полый, стеклянные линзы разной кривизны, а также областей пространства около плоских изображений. На рис. 11а представлена одна из таких записей поля около изображения выпукло-вогнутой линзы. Хорошо видны характерные колебательные повторы в этой записи одновременно с некоторой деформацией профиля, обусловленной, по-видимому, влиянием на объект процесса его измерения.



Рис. 11а. Сканирование торсионно-формового поля вокруг изображения объекта.

Возможности SADAF-08LC в целом достаточно велики, в частности получены положительные результаты по зондированию Луны подобным способом, с использованием её плоского изображения. Работа проводилась по трём точкам прицеливания с разрешением 50 км. В результате получается, что Луна в центральной части имеет пониженную плотность. Эти результаты опубликованы в [2] и приведены на рис. 11б в собранном виде. Контрольный эксперимент производился с использованием в качестве объекта стального шара диаметром 30 мм. Глубокого провала в середине записи нет.



Рис. 11б. Торсионная структура Луны.

В настоящее время производятся интенсивные работы по длительному временному мониторингу окружающей обстановки с помощью нового измерителя «ОРЕОЛ-001+», рис. 12.



Рис. 12. Торсимер ОРЕОЛ-001++

Этот прибор имеет встроенный датчик на КМОП – микросхеме, высокоэффективные стабилизаторы питания и температуры датчика, систему AD – преобразования для связи с ПК, прикладную программу.

На Ореоле001+ уже получен целый ряд автоматических мониторинговых результатов: недельные развёртки спиновой обстановки здания лаборатории металловедения СХК, мониторинг организма по его изображению, мониторинг землетрясений с получением информационного предвестника за некоторое время до реального события (от 10 до 30 часов) и т.п.

На рис. 13 приведены результаты по спиновой реакции лаборатории на приход сотрудников на работу. Видно, что в рабочие дни кривые изменения спинового состояния лаборатории ЛМ СХК, начиная примерно с 9 часов местного времени «проваливаются» вниз, в сторону уменьшения информационной энтропии, что понятно: персонал пришёл дело делать.

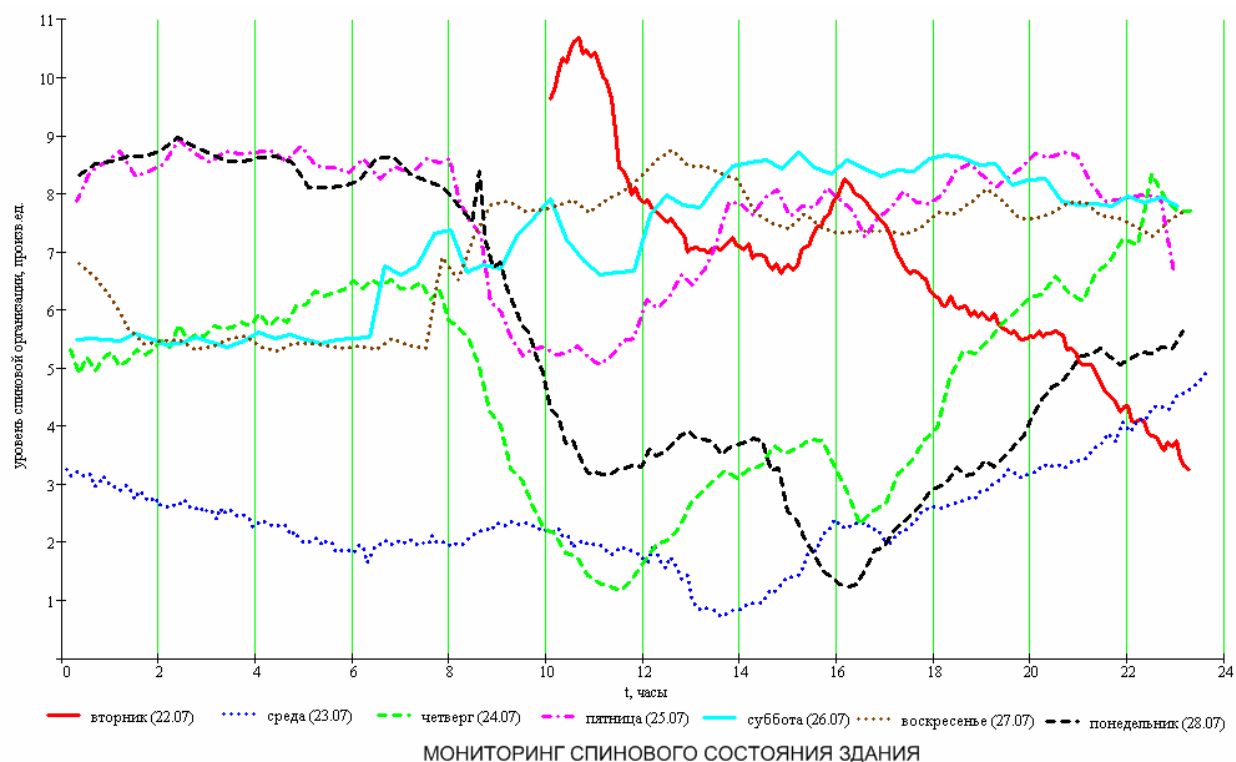


Рис. 13. Торсионный мониторинг здания лаборатории.

В выходные дни этот эффект незначителен, а в рабочие дни недели он имеет разную глубину. К сожалению, оба понедельника имеют неполную запись, это связано с перезагрузкой компьютера в эти дни. На рис. 14 представлен один из результатов по мониторингу землетрясения в Италии 06.04.09, физически произошедшего в 05.32 московского времени (08.32 томского). Копия точечного формата невысокого разрешения, к сожалению, плохо передаёт тонкую структуру записи событий.

На рис. 14, по оси абсцисс отложено время в точках, причём каждое малое деление шкалы равно 10000 сек. (2,777 часа). Основное событие произошло в окрестности, отмеченной красным квадратом, ему предшествовал информационный сигнал, отмеченный красным прямоугольником. Он предвещает основное событие почти на 30 часов. В этом эксперименте структура предвестника не разворачивалась подробно, как это делалось на других записях, например, по землетрясению на Суматре 16.04.09 или на Гаити 21.04.09. Оказывается, эти предвестники имеют чрезвычайно сложную структуру, которая содержит, по-видимому, закодированную информацию о предстоящих неприятностях для людей. Если бы удалось раскодировать такие сообщения-предшественники, то это принесло бы немалую пользу службе предупреждения неприятных событий. В продолжение темы смотри также рис. 15 (Предвестник 19.04.09, примерно 18.40 томского времени).

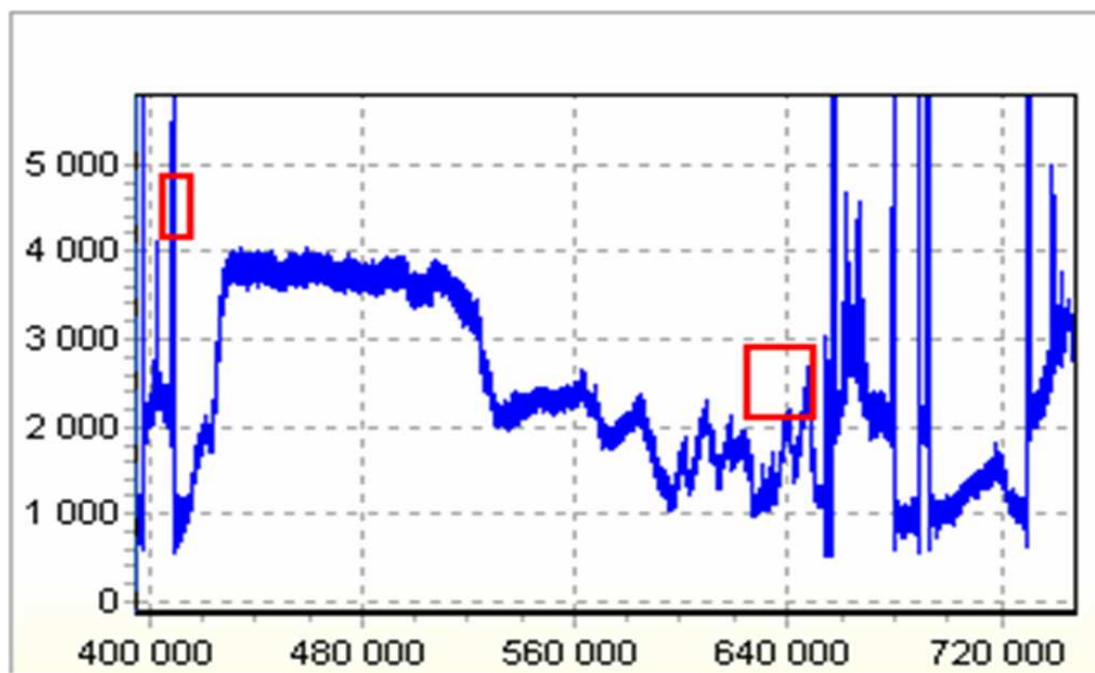


Рис.14. Мониторинг предвестника и самого землетрясения.

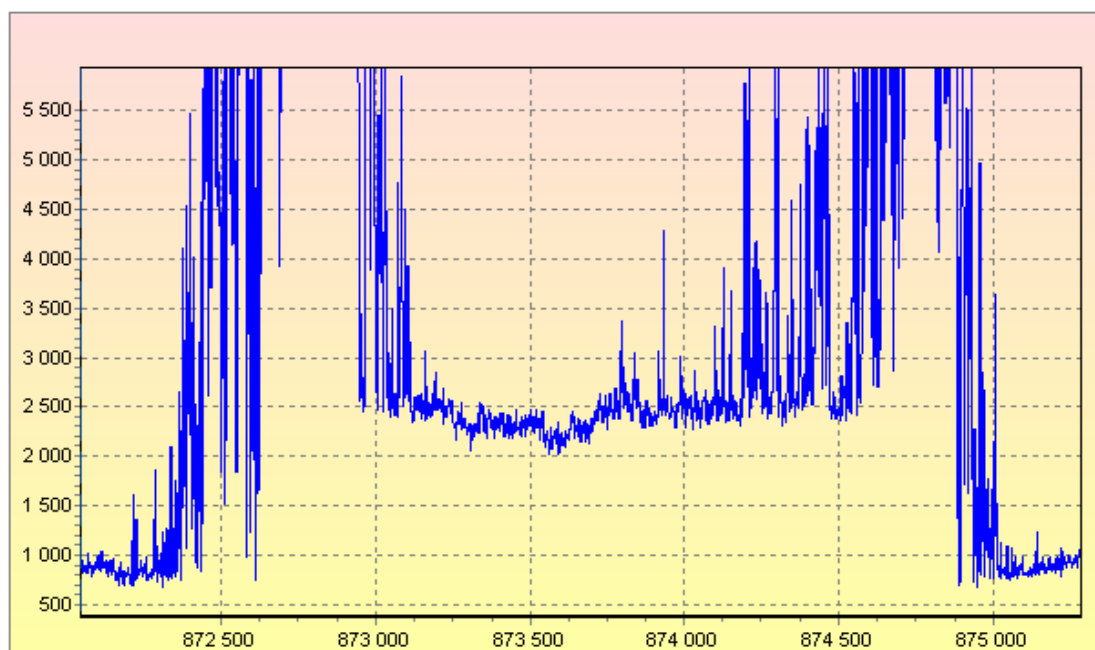


Рис. 15. Торсионный предвестник землетрясения.

Информацию, график которой в BMP – формате с лучшим разрешением показан на рис. 15, предлагается считать предвестником некоторого грядущего события (возможно, последующего землетрясения на Гаити 21.04.09, магнитудой 6,5 баллов по шкале Рихтера). Она, эта информация, получена комплексом «ОРЕОЛ-001+» 19.04.2009 из неизвестного источника. Передача длилась около 23 минут, с разрешением один элемент в секунду.

Выводы по изложенному объёму работ и их результатам

1. Мониторинги: временные и пространственные, живых и неживых объектов, с использованием тонкополевых технологий и соответствующей аппаратуры не только возможны, но и весьма реальны.
2. Принципиальные возможности таких мониторингов представляются весьма значительными, как по проникающей способности и дистантности (до Луны и далее), так и по пространственному разрешению (до молекулярного, и глубже, уровня).
3. Эти возможности напрямую связаны с разработкой сверхвысокочувствительной измерительной аппаратуры, решением ряда непростых задач экспериментального и инженерного характера. В дальнейшем этот аспект работ будет усиливаться.
4. В документе изложены лишь отдельные результаты веерных, пробных, инициативных, работ по тонкополевым сканирующим технологиям. Они получены на эксклюзивных приборах и методиках, разработанных ограниченной группой учёных-поисковиков и инженеров новой волны, без серьёзной поддержки конструкторских бюро и промышленности. Поэтому ценовой показатель таких разработок пока достаточно высок. При разворачивании работ на серию цена неизбежно должна снижаться.

Литература

1. Акимов А.Е. Эвристическое обсуждение проблемы поиска новых дальнодействий. – М.: МНТЦ ВЕНТ, 1991, препринт №7А.-с.63, а также А.Е.Акимов, П.И.Госьков, Г.И.Шипов. Физика и техника торсионных излучений, торсионные технологии. Изд-во АлтГТУ. – Барнаул, 2000г., с.1-10.
2. Шкатов В.Т., Агапов Н.А. Эффект автодифракции тонких полей. // БИЭТ-2007: Доклады 10-го юбилейного международного научного конгресса. Под ред. П.И. Госькова.- Барнаул-Екатеринбург: Изд-во АлтГТУ, 2007.-т.1,-с.83-90.
3. Шкатов В.Т. и др. Ряд работ, опубликованных в материалах различных конгрессов БЭИТ с 2001 по 2008 г., конгрессов по биоэлектрографии 2006-2007г., в трудах конференции по биополевым взаимодействиям и медицинским технологиям 16-18 апреля 2008 г. в Москве и др.